

УДК 616.65.23:45.78

**ИЗМЕНЕНИЯ ЭЭГ И БИС ИНДЕКСА ВО ВРЕМЯ
ИНГАЛЯЦИОННОЙ АНЕСТЕЗИИ КАРДИОХИРУРГИЧЕСКИХ ОПЕРАЦИЙ У ДЕТЕЙ**

*Аззамходжаев Т.С., Нурумхамедов Х.К., Тохиров Ш.М.,
Солиходжаев Ш.Н., Маматкулов И.Б., Исмаилова М.У.*

Ташкентский педиатрический медицинский институт.

✓ Резюме

Цель исследования - оценить биспектральный (БИС) индекс и электроэнцефалографические (ЭЭГ) изменения во время анестезии изофлюраном, севофлюраном и последовательной комбинации их при кардиохирургических операций у детей.

Материалы и методы. 60 детей от 3 до 5 лет были включены в 3 группы (по 20 в каждой): 1 группа - с анестезией изофлюраном; 2 группа - с анестезией севофлюраном; 3 группа - с последовательной комбинацией севофлюрана и изофлюрана. Для анестезии во всех группах использовалась кислородно-закисная смесь в отношении 1:1. Регистрация ЭЭГ (6-канальный компьютерный энцефалограф) и индекса БИС (версия ХР) проводили непрерывно в течении всей анестезии, кроме момента перехода на изофлюран в 3 группе.

Результаты. В группе пациентов с анестезией изофлюраном на ЭЭГ регистрировалась постепенная редукция основного ритма, увеличение медленной активности с восстановлением ритма при пробуждении. Индекс БИС изменился с 96-99 до 19-36 с подъемом до 80-887 при пробуждении. Во 2 и 3 группах, где для вводной анестезии применялся севофлюран, на ЭЭГ регистрировался заостренный αα-ритм, увеличение амплитуды, синхронизация ритма. Значение БИС изменилось с 96-99 до 19-37. При поддержании во 2 группе БИС устанавливался на уровне от 30 до 40. При пробуждении - от 82 до 87. На этапе анестезии с изофлюраном в 3 группе ЭЭГ картина изменялась в сторону синхронизации ритма и появления медленных колебаний во всех отведений. Индекс БИС составил 30-39 при поддержании анестезии и 80-86 при пробуждении.

Заключение. Во всех исследуемых группах показатели мониторинга ЭЭГ и БИС соответствовали клиническому течению и глубине анестезии. Сопоставление клинических данных течения анестезии и показателей ЭЭГ и БИС мониторинга позволило сделать вывод о том, что технология БИС может быть информативна у детей.

Ключевые слова: ингаляционная анестезия, электроэнцефалография, БИС мониторинг, изофлюран, севофлюран.

**БОЛАЛАР КАРДИОХИРУРГИК ОПЕРАЦИЯЛАРИДА ИНГАЛЯЦИОН АНЕСТЕЗИЯ ЎТКАЗИЛГАНДА
ЭЭГ ВА БИС ИНДЕКСНИ ЎЗГАРИШЛАРИ**

*Аззамходжаев Т.С., Нурумхамедов Х.К., Тохиров Ш.М.,
Солиходжаев Ш.Н., Маматкулов И.Б., Исмаилова М.У.*

Ташкент педиатрия тиббиёт институту.

✓ Резюме,

Мақсад - болаларда кардиохирургик операцияларда изофлюран ҳамда севофлюран анестезия ўтказилганды биспектрал (БИС) ва электроэнцефалография (ЭЭГ) ўзгаришларини аниқлаш.

Услублар ва методлар. 3-5 ёшли 60 болалар кардиохирургик операция ўтказилганды 3 гуруҳга бўлинди (ҳар битасида 20 дан): 1 гуруҳ-изофлюран анестезия билан; 2 гуруҳ- севофлюран анестезия билан; 3 гуруҳ -севофлюран ва изофлюран комбинацияланганда. Ҳамма гуруҳларда анестезия учун оксиген-азот закисли аралашма 1:1 нисбатидан берилди. Анестезия давомида ЭЭГ (6 каналли компьютерланган энцелограф) ва БИС индекси (ХР версияси) ўтказилган.

Изофлюран анестезия ўтказилганды ЭЭГда асосий ритмини секинлик бўлиши редукция аниқланди, ўйғонганды эса активлигини секинлик билан активлаши ва ритми тикланиши қайд этилди. БИС индекси кўрсаткичлар 96-98 дан 19-36 га бўлиб ўйғонганды 80-87 кўтарилиган. 2 ҳамда 3 гуруҳларда анестезияга киришида севофлюран қўлланилди, ЭЭГ эса ушбу вақтида ўтқирланган αα-ритм ҳамда амплитудани кўтарилиши ва ритми синхронизациялаши аниқланди. БИС кўрсаткичлари 96-99 дан ва 19-37 гача ўзгарилиди. 2 гуруҳда анестезияни ушлаб туриш даврида БИС кўрсаткичлар 30-40 миёрда ушланилди, ўйғонишида - 82-87 гача аниқланди. 3 гуруҳда севофлюран ва изофлюран анестезия ўтказилганды ЭЭГ сурати ритмини синхронизациялаш ва ҳамма нуқталарда секин-оста тебранишларни пайдо бўлиши қайд этилган. БИС индекси анестезия давомида 30-39 ва ўйғонганида 80-87гача бўлган.

Хуласа. ЭЭГ ва БИС индексларни кўрсаткичлар ҳамма гуруҳларда клиник кўрсаткичларига ва анестезия чуқурлигига мос келди. Ушбу анестезияларни клиник кечишуви ва ЭЭГ ҳамда БИС мониторинг ўтказиши кўрсатдиги БИС технология болаларда кардиохирургия операцияларда анчагина информация олиб келади.

Калит сўзлар. Ингаляцион анестезия, кардиохирургик операциялар, ЭЭГ, БИС мониторинг, изофлюран, севофлюран.

CHANGES IN EEG AND BISPECTRAL INDEX IN CHILDREN DURING INHALATION ANESTHESIA OF CARDIOCURGERU OPERATION

Агзамходжаев Т.С., Нурмухамедов Х.К., Тохиров Ш.М., Солиходжаев Ш.Н.,
Маматкулов И.Б., Исмаилова М.У.

Ташкентский педиатрический медицинский институт.

✓ Resume

Objective: to estimate bispectral (BIS) index and electroencephalographic (EEG) changes during anesthesia with izoflurane, sevoflurane, and a successive combination of sevoflurane and izoflurane, by taking into account age.

Subjects and methods. Sixty children aged 3 to 17 years, who had undergone cardiosurgery operation, were randomized to 3 groups of 20 children each: 1) izoflurane anesthesia; 2) sevoflurane anesthesia; and 3) a successive combination of sevoflurane and izoflurane. A 1:1 oxygen-nitrous oxide mixture was used for anesthesia in all the groups. EEG (using a 6-channel computer-assisted encephalograph) and bispectral index (XP version) was continuously recorded throughout the anesthesia, except the transition to izoflurane in Group 3.

Results. In the izoflurane group, EEG displayed a gradual reduction in basic rhythm, an increase in slow activity with the rhythm being recovered on emergence. The BIS index changed from 96-99 to 19-36 with a spike of up to 80-87 on emergence. In Groups 2 and 3 where the induction of anesthesia used sevoflurane, EEG recorded a pointed α rhythm, increased amplitude, and rhythm synchronization. The BIS value changed from 96-99 to 19-37. In Group 2, it was 30 to 40 on anesthesia maintenance and up to 82-87 on emergence. In Group 3, the izoflurane anesthesia stage changed EEG patterns towards rhythm synchronization and gave rise to slow fluctuations in all leads. The BIS index was 30-39 on anesthesia maintenance and 80-86 on emergence.

Conclusion. EEC and BIS index monitoring values corresponded to the clinical course and depth of anesthesia. The comparison of the clinical data of the course of anesthesia and the values of EEG and BIS monitoring could lead to the conclusion that BIS technology might be of informative value in children.

Key words: inhalation anesthesia, electroencephalography, BIS monitoring, sevoflurane, izoflurane.

Актуальность

Общеизвестно, что развитие многокомпонентного обезболивания вызвало стремление анестезиологов сделать анестезию как можно более поверхностной. В этой связи сохранение сознания под наркозом с инцидентами интранаркозного пробуждения стало проблемой современной анестезиологии. Частота эпизодов интраоперационного пробуждения различна, она составляет от 9-11 % при нейролептанальназии, до 0,2-0,5 % при использовании современных ингаляционных анестетиков [1, 3, 5].

Для решения этой задачи используется мониторинг биспектрального индекса (БИС-мониторинг), при котором в масштабе реального времени происходит регистрация, автоматическая обработка и преобразование данных спонтанной биоэлектрической активности мозга в биспектральный индекс [2-4, 8]. На экране монитора значение БИС-индекса отображается в виде графического тренда и числа в диапазоне от 0 (полное отсутствие биоэлектрической активности) до 100 (ясное сознание), которое является результатом анализа данных электроэнцефалографии

за предшествующие 15 с и обновляется каждую секунду [5, 6, 7].

Необходимо отметить, что биспектральный индекс отражает степень угнетения центральной нервной системы независимо от того, чем оно индуцировано естественным сном или медикаментозно. Величина биспектрального индекса линейно соответствует уровню седации пациента, при этом его значения в пределах 60-40 единиц соответствуют достаточной глубине общей анестезии [2, 4, 5].

Цель исследования - оценить глубину анестезии при кардиохирургических операциях с использованием метода ЭЭГ и биспектрального анализа с учетом возраста на всех этапах анестезии у детей.

Материал и методы

Исследование проводили по шкале ASA I и II класса у 60-и детей в возрасте от 3 до 5 лет, которые были прооперированы (табл. 1) в отделении кардиохирургии (продолжительность операции варьировалась от 45 мин до 2 часов)

Таблица 1

Общая характеристики пациентов (абс)

Проведенные оперативные вмешательства	Пол	
	мальчики (n=38)	девочки (n=22)
Устранение ДМЖП	22 (36,6%)	14 (23,3%)
Устранение ДМПП	16 (26,6%)	8 (13,3%)

Средний возраст составил 4 года ($\pm 3,64$), средний вес составил 16,3 кг ($\pm 6,45$). Во всех группах вводилась премедикация за 30 мин до начала вводной анестезии раствором атропина в дозе 0,01 мг/кг внутримышечно. Больные были распределены на 3-и группы по 20 человек. 1-я группа - с анестезией изофлюраном, 2-я - с анестезией севофлураном. 3-я группа - с последовательной анестезией севофлураном и изофлюраном.

Во всех группах использовали кислородно-закисную смесь в отношении 1:1. На волосистую часть головы в проекции обоих полушарий накладывали чашечные хлорсеребряные электроды энцефалографа согласно международной схеме "10-20%" [12, 13]. Во всех группах до анестезии регистрировалась фоновая активность для оценки общемозговых изменений и возрастных особенностей коркового ритма. Запись сопровождалась

однократным тестом световой стимуляции (открытие и закрытие глаз по команде) с целью регистрации аритма. Запись ЭЭГ проводили 6-канальным компьютерным энцефалографом («Ates Medica Device», программное обеспечение Neurotravel версии 2.5.2). Применили монополярную регистрацию по 6-канальной схеме (Fp1-RF, Fp2-RF, T3-RF, T4-RF, O1-RF, O2-RF) с лобно-полюсных, височных и затылочных областей в проекции правого и левого полушарий. Электроды фиксировали вокруг головы резиновым ремешком. Референтный электрод (RF) располагали на переносице. Импеданс электродов мониторировался автоматически и поддерживался не менее 10 кОм. Полосовые фильтры энцефалографа были установлены в пределах: верхняя частота - 70 Гц, нижняя частота - 0,53 Гц; чувствительность - 7 мкВ/мм; скорость записи - 30 мм/с. После регистрации ЭЭГ в сознании, не снимая электродов, пациента помещали на операционный стол, при этом тестирували электроды на импеданс и на возможное смещение с места фиксации. Затем на лоб пациента накладывали одноразовые сенсоры БИС, следя инструкции руководства по эксплуатации прибора, после предварительного обезжиривания поверхности кожи. Датчик (применялся совместимый датчик BIS Sensor XP) соединялся с БИС монитором BIS A-2000 XP ("Aspect Medical Systems", США). Регистрация потенциалов начиналась после установки импеданса электродов менее 7,5 кОм. Регистрация БИС индекса осуществлялась непрерывно в состоянии сохраненного сознания и до клинических признаков пробуждения. Загрузки монитора фирмы Аспект считывались каждые 5 с. Окно слаживания составляло 15 с, период обновления - 2 с. Реальные значения БИС регистрировали в интервале 1 мин. Данные были загружены в компьютер для последующего анализа с помощью программы BIS View (разработчика компании "Атес Медика софт", Россия).

Использовался стандартный мониторинг: капнография, измерение сатурации и неинвазивного АД, ЧСС, термометрия, состав газовой смеси на выдохе. В течение всех оперативных вмешательств анестезию проводили аппаратно-масочным способом на спонтанном дыхании пациента с помощью наркозно-дыхательного аппарата Primus ("Droger", Германия). Поток свежего газа в контуре во время анестезии составлял 4 л/мин. Газовый состав дыхательного контура и концентрацию анестетиков в конце выдоха (Ethalгалотана, Etsev-севофлурана, Etiso-изофлурана) определяли с помощью встроенного в наркозно-дыхательный аппарат Primus ("Droger", Германия). Для подач ингаляционных анестетиков применяли испарители Vapor 2000 ("Droger", Германия) для галотана, севофлурана и изофлурана. Углекислый газ изменился с помощью встроенного капнографа.

Индукцию анестезии в 1-й группе проводили пошаговым методом, во 2-й группе - методом болюсной индукции, в 3-й группе - севофлураном также болюсным способом, а поддержание анестезии осуществлялось ингаляцией изофлурана. Регистрировали параметры ЭЭГ, Ethal и Etsev в 1-й и во 2-й группах непрерывно в течение всей анестезии, в 3-й группе - на этапе индукции ЭЭГ и Etsev. Затем, после перехода с севофлурана на изофлуран, регистрация ЭЭГ прекращалась до того момента, пока не была достигнута концентрация Etiso 1,5-2 МАК (минимальная альве-

олярная концентрация). Запись ЭЭГ возобновлялась через 5 мин балансировки, когда на дисплее газоанализатора появлялось значение концентрации изофлурана, соответствующее концентрации, установленной на испарителе. Во всех 3-х группах сбор данных был разделен на 3 периода анестезиологического пособия: индукция, поддержание и пробуждение. Начало периода пробуждения регистрировалось с момента прекращения подачи анестетика. Показатели течения всех этапов анестезии ЧСС, среднее значение систолического АД, среднее АД, частота дыхания (ЧД), парциальное давление углекислого газа в выдыхаемой газовой смеси (pCO₂), насыщение гемоглобина кислородом артериальной крови (SaO₂) представлены в табл. 2. Альгетики и опиаты не использовали в течение всего анестезиологического пособия. Послеоперационное обезболивание проводили раствором трамадола в дозе 1 мг/кг внутримышечно.

Параметры ЭЭГ анализировали визуально с оценкой всех составляющих ритмов и с учетом возрастных особенностей общемозговых изменений, выявляющихся во время анестезии, и с помощью трехмерных спектральных карт. Для оценки данных БИС анализа использовали цифровое значение шкалы БИС, тренды, индекс качества сигнала, индикатор электромиограммы, коэффициент подавления, показатель частоты 95% мощности сигнала. Статистическую обработку наблюдавшихся параметров и полученных результатов выполняли на персональном компьютере с использованием программы Microsoft Office Excel 2007 [14].

Результаты и обсуждение

Индукция севофлураном во 2-й и 3-й группах привела к более быстрой депрессии тренда БИС, чем изофлураном в 1-й группе. Среднее значение БИС индекса во время индукции в 1-й группе рассчитывалось с 4-й мин регистрации от начала анестезии до 8-й мин и составило 38±11; во 2-й группе - с 1-й мин до 4-й мин (28±10); в 3-й группе - с 1-й мин и до момента перехода на изофлуран (27±10).

ЭЭГ до анестезии (запись фона) у всех исследуемых пациентов характеризовалась сформированным, регулярным, выраженным, фрагментами веретенообразным во всех областях коры α-ритмом, с преобладанием в затылочных отведениях. Частота α-ритма варьировала от 7,5-8 в 1 с у детей в возрасте 3 лет, до 10-12 в 1 с в возрасте 4 лет и до 10 в 1 с в возрасте 5 лет с выраженной реакцией активации на световой раздражитель (открывание глаз). Амплитуда колебаний составляла 50-100 мкВ. Наряду с основным ритмом наблюдали диффузные низкоамплитудные медленные волны θ-диапазона, с наложением частых колебаний β-ритма (рис. 2). Параметры ЭЭГ у пациентов в 1-й группе во время индукции характеризовались постепенным нарастанием амплитуды и повышением синхронизации на фоне основного коркового ритма. На 5-й минуте анестезии отмечалась дезорганизация α-ритма и появление медленных ритмов θ-диапазона (рис. 2). На этапе поддержания регистрировалась депрессия θ-ритма, снижение амплитуды, появление большого количества диффузных медленных колебаний α-диапазона (рис. 3).

Таблица 2.

Показатели течения анестезии (Мём)

Этап анестезии	Группа	ЧСС (в 1 мин)	СисАД (мм.рт.ст.)	САД (мм рт. ст.)	pCO2 (мм рт. ст.)
Индукция	1-я	93(±16)	98(±11)	63(±8)	24(±6)
Поддержание	1-я	101(±11)	110(±16)	69(±8) 26(±6)	
Пробуждение	1-я	107(±9)	103(±12)	65(±10) 24(±5)	
Индукция	2-я	109(±23)	101(±1)	61(±10)	25(±8)
Поддержание	2-я	97(±16)	94,7(±5)	54,3(±7)	25(±4)
Пробуждение	2-я	103(±12)	96(±7)	62(±7)	28(±6)
Индукция	3-я	112(±24)	100(±11)	62(±10)	26(±3)
Поддержание	3-я	117(±21)	105(±13)	57(±6)	31(±7)
Пробуждение	3-я	107(±11)	105(±11)	63(±8)	25(±4)

Примечание. ЧСС - частота сердечных сокращений; СисАД - систолическое артериальное давление; САД - среднее артериальное давление; pCO2 - парциальное давление углекислого газа. Указаны средние значения. В скобках даны стандартные отклонения.

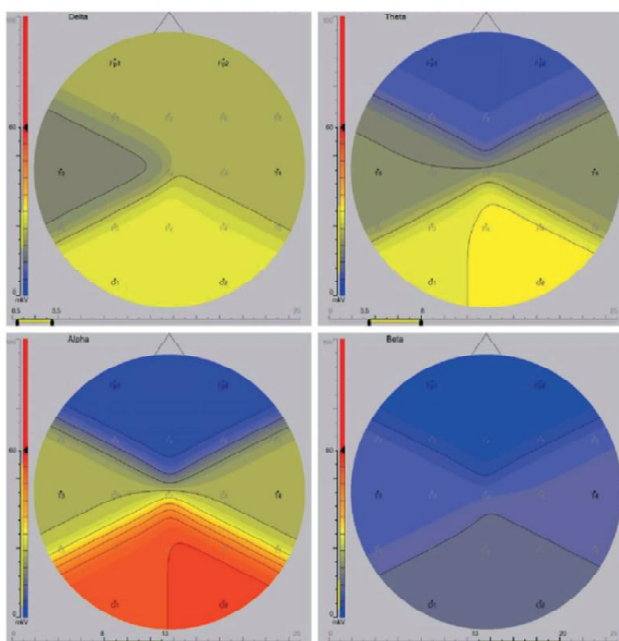


Рис. 1. Спектральная карта ЭЭГ в сознании (фоновая запись).

На рисунке представлена спектральная карта, содержащая схематичное двухмерное изображение головы, на которой цветом выделены области с различной амплитудой мощности спектра. В левой верхней части окна находится метка, идентифицирующая диапазон частот ("дельта", "Тэта", "Альфа", "Бета"). По оси абсцисс отмечен диапазон частот (Гц), в пределах которого рассчитывается спектр. По оси ординат располагается шкала соответствия между величиной амплитуды (мкВ) по градации цвета и значением картируемой частоты. На этой шкале обозначен минимум и максимум амплитуды картируемой частоты по всей карте. Выделенными точками обозначены активные электроды, соответствующие локализации на поверхности головы пациента (Fp-лобная область, Т- теменная, О - затылочная; четные цифровые индексы отмечают проекцию правого полушария, нечетные -левого)

При пробуждении постепенно корковый ритм восстанавливался с повышением амплитуды и уменьшением количества медленных колебаний (рис. 4). Во время регистрации пароксизматической активности не отмечалось.

Визуальный анализ ЭЭГ во время индукции анестезии с севофлураном во 2-й группе выявил снижение уровня биоэлектрической активности по сравнению с исходным фоном, появление заостренного α -ритма высокой амплитуды в центральных областях на 2-й минуте индукции, синхронизацию ритма, по-видимому, за счет гипервентиляции (рис. 5). После индукции севофлураном на этапе поддержания анестезии, когда контур был заполнен изофлураном и большому поступал анестетик в количестве 2 МАК, ЭЭГ картина изменялась. Была зарегистрирована редукция α -ритма с преобладанием медленных колебаний θ -диапазона во всех отведениях. В наиболее травматичные этапы в условиях адекватной анестезии на ЭЭГ не отмечалось каких-либо изменений в ритме (регистрировалась низкоамплитудная медленно-волновая активность во всех отведениях) (рис. 6). У части больных было отмечено незначительное увеличение колебаний бета-диапазона. К моменту пробуждения восстанавливался низкоамплитудный корковый ритм (рис. 7). При регистрации ЭЭГ в этой группе пароксизматической активности также зарегистрировано не было.

При наложении сенсорных датчиков БИС монитора А-2000 у всех пациентов до анестезии регистрировался индекс в пределах от 95 до 99, что соответствовало уровню сознания. При анестезии галотаном во время индукции индекс постепенно уменьшался до 38-49 в течение 5-и мин. При поддержании анестезии значения БИС регистрировали в пределах от 39 до 47. Пробуждение характеризовалось подъемом БИС до 77-85.

В группе пациентов с применением севофлурана значение БИС во время индукции значительно уменьшалось до 19-38 на 2-3-й мин анестезии. У 5-летнего пациента было отмечено снижение индекса на 3-й минуте индукции до 03. Важно отметить, что у всех детей в группе с севофлураном момент венепункции сопровождался двигательной реакцией. При этом клинически был достигнут 1-й уровень хирургической

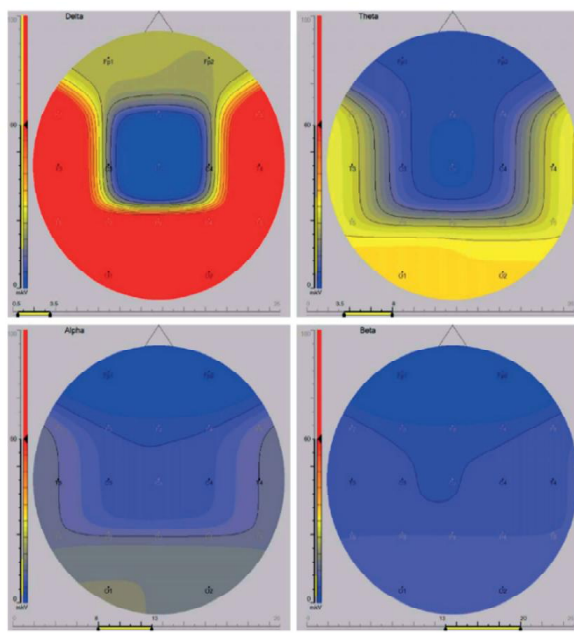


Рис. 2. Спектральная карта ЭЭГ во время индукции в 1-й группе.

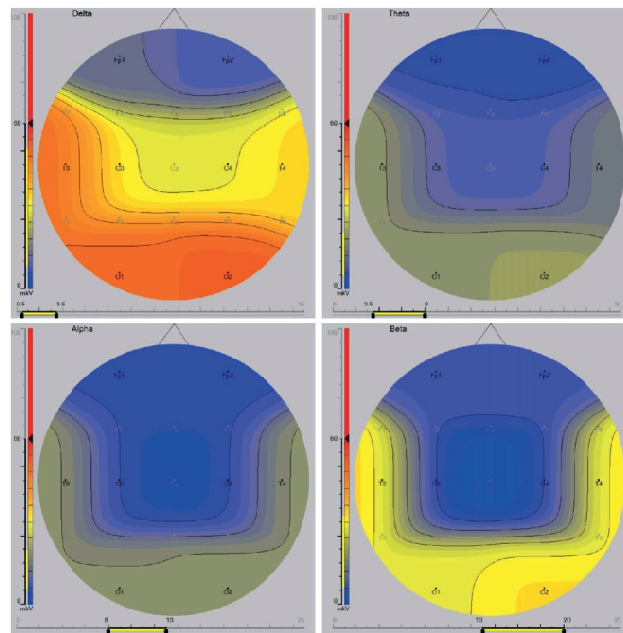


Рис. 3. Спектральная карта ЭЭГ во время поддержания в 1-й группе

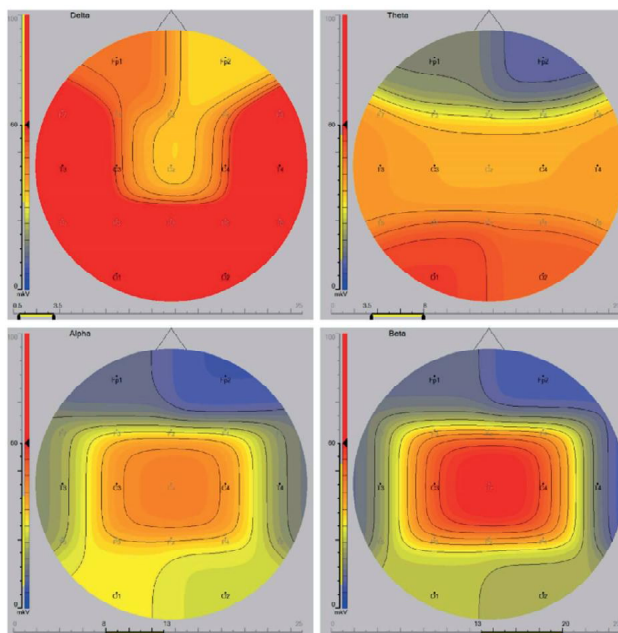


Рис 4 Спектральная карта ЭЭГ во время пробуждения в 1-й группе.

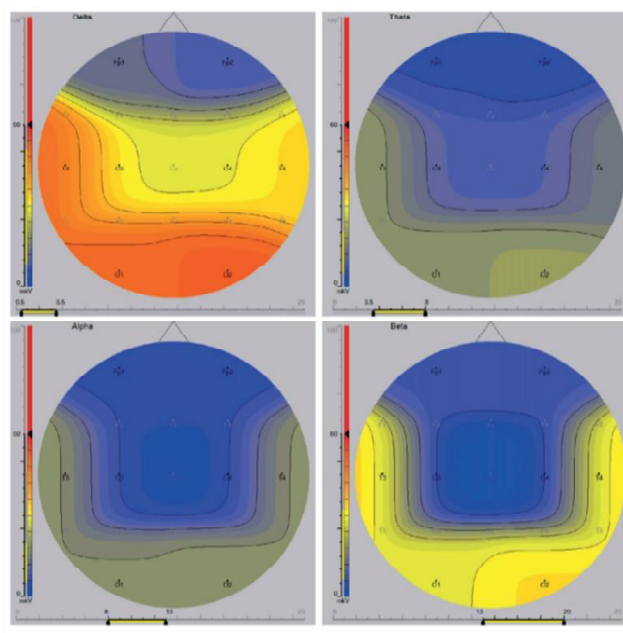


Рис. 5. Спектральная карта ЭЭГ во время индукции во 2-й группе.

стадии анестезии, и на экране БИС монитора регистрировалось значение индекса 35-40. Поэтому возникала необходимость углублять анестезию. При этом удлинялось время индукции. Болевая реакция в этот момент не выявляла каких-либо изменений на ЭЭГ. Во время поддержания анестезии значение БИС устанавливалось на уровне 30-40. Пробуждение характеризовалось подъемом индекса до 72-75.

В группе анестезии с последовательной комбинацией севофлурана и изофлурана электроэнцефалографические изменения во время вводной анестезии были сходны с результатами ЭЭГ в группе с моноанестезией севофлураном. Показатели БИС во время

индукции составляли от 20 до 37. После перехода на изофлуран и в течение всего периода поддержания существенных изменений в картине ЭЭГ не происходило (регистрировали средне- и высокоамплитудные колебания δ- и θ-диапазона) (рис. 8).

Травматичные моменты не сопровождались усиливанием биоэлектрической активности мозга пациентов. Пробуждение характеризовалось восстановлением коркового ритма низкой амплитуды (рис. 9). Показатели БИС при поддержании устанавливали в пределах от 30 до 39. Пробуждение сопровождалось подъемом БИС до 70-76.

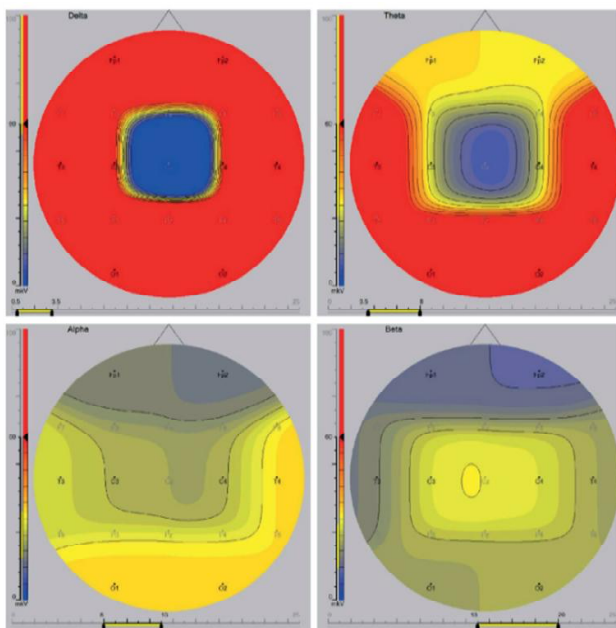


Рис. 6. Спектральная карта ЭЭГ во время поддержания во 2-й группе

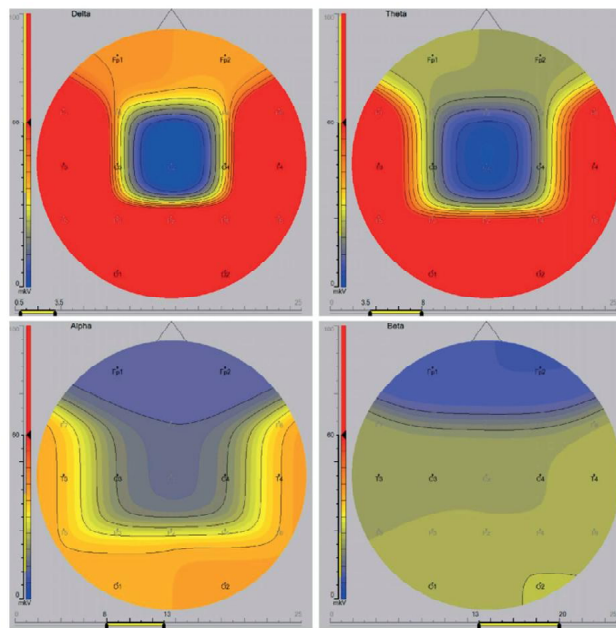


Рис 7 Спектральная карта ЭЭГ во время пробуждения во 2-й группе.

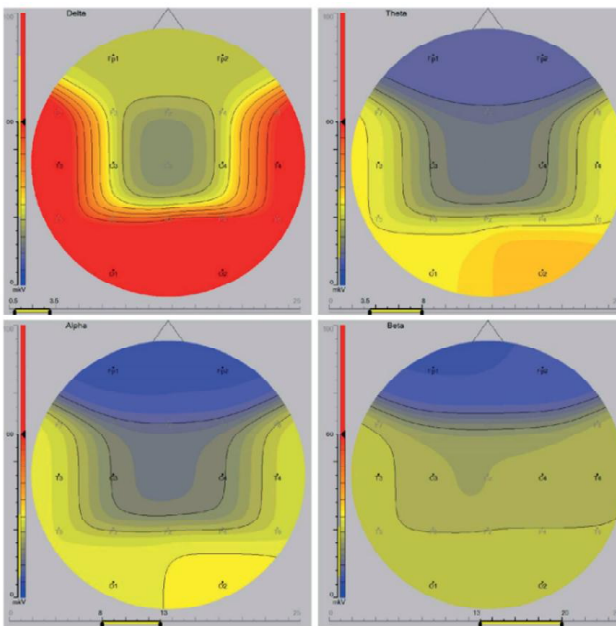


Рис. 8. Спектральная карта ЭЭГ во время индукции в 3-й группе.

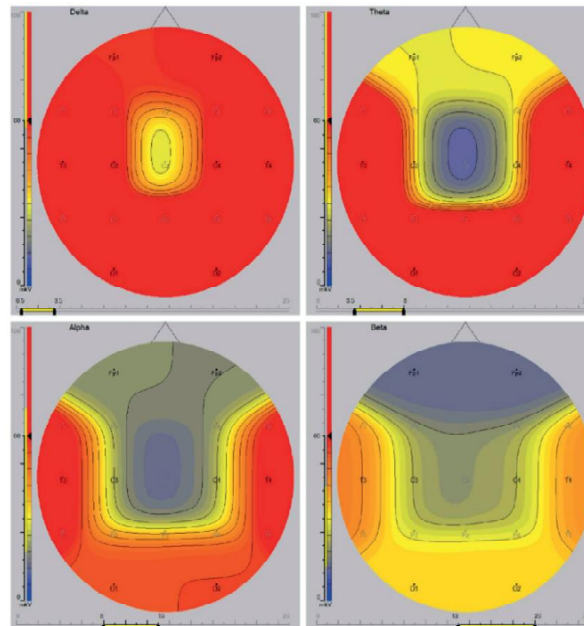


Рис. 9. Спектральная карта ЭЭГ во время поддержания в 3-й группе

При одновременной регистрации ЭЭГ и БИС индекса во время анестезии в обеих группах частотные характеристики на экране энцефалографа соответствовали ритму ЭЭГ на мониторе БИС с временным отставанием до 5-10 с. Показатели БИС мониторинга показали, что время индукции анестезии севофлураном составляет 3-4 мин и индекс снижается до 19-38. Во время индукции изофлюраном БИС снижается до 38-47 и составляет 5-7 мин. Эти показатели соответствуют клиническому течению индукции при применении севофлурана и изофлюрана. Во время поддержания анестезии в 1-й группе В группе пациентов с применением севофлурана значение БИС во время индукции значительно уменьшалось

до 19-38 на 2-3-й мин анестезии. У 5-летнего пациента было отмечено снижение индекса на 3-й минуте индукции до 03. Важно отметить, что у всех детей в группе с севофлураном момент венепункции сопровождался двигательной реакцией. При этом клинически был достигнут 1-й уровень хирургической стадии анестезии, и на экране БИС монитора регистрировалось значение индекса 35-40. Поэтому возникла необходимость углублять анестезию с удлинением времени индукции. Болевая реакция в этот момент не выявляла каких-либо изменений на ЭЭГ. Во время поддержания анестезии значение БИС устанавливалось на уровне 30-40. Пробуждение характеризовалось подъемом индекса до 72-75.

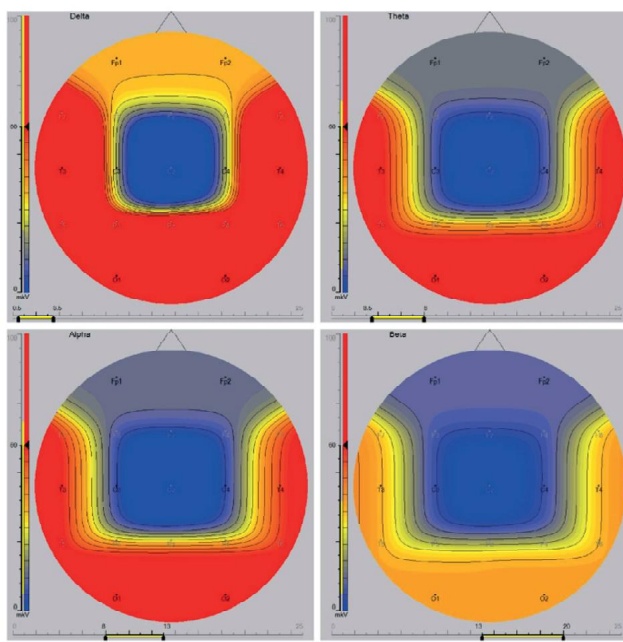


Рис. 10. Спектральная карта ЭЭГ во время пробуждения в 3-й группе.

Во 2 группе показатели БИС составили 30-40; на ЭЭГ также были зарегистрированы медленные колебания высокой амплитуды θ - и δ -ритма (рис. 6). В 3-й группе в период поддержания БИС индекс был на уровне 30-39. Картина ЭЭГ аналогична 1-й и 2-й группам (рис. 8). Период пробуждения сопровождался подъемом тренда БИС до уровня 77-78 в 1-й группе, 72-75 во 2-й группе и 70-76 в 3-й. На ЭЭГ происходило восстановление коркового ритма низкой амплитуды во всех группах (рис. 4, 7, 9). В группе анестезии с галотаном через 4-7 мин. В группах с севофлураном и в группе последовательной комбинации севофлурана и изофлурана через 2-4 мин.

Препараты бензодиазепинового ряда не использовали для премедикации, чтобы, гипотетически, их действие не повлияло на результаты. Тем самым важно было подчеркнуть чистоту исследования. Но рандомизированное, контролируемое исследование по рассмотрению эффекта пероральной премедикации мидазоламом показало, что нет различий в интраоперационных значениях БИС между группами с премедикацией и без премедикации [15].

Сходные данные с результатами настоящей работы были получены в аналогичных исследованиях [8, 11, 16-18]. В этих работах авторы установили, что с уменьшением Etiso в равной степени нелинейно и монотонно увеличивается БИС. Ими также были получены средние значения БИС при пробуждении в зависимости от конечной концентрации анестетиков, которые составляли $78,5 \pm 12,3$, $60,9$, 62 , $83,5 \pm 11,6$, $86,7$, соответственно.

Таким образом, были продемонстрированы равномерные обратные отношения между Etiso и БИС в педиатрической популяции.

Выводы

- Параметры ЭЭГ и показатели шкалы БИС индекса во всех исследуемых группах соответствовали клиническому течению и глубине анестезии.

- По результатам анализа БИС и клиники индукция анестезии галотаном была продолжительнее 5,3 мин (стандартное отклонение - 1,5) по сравнению с севофлураном 3,2 мин (стандартное отклонение - 0,5).

- На этапе поддержания анестезии и в травматичные моменты операции параметры ЭЭГ (высокоамплитудная медленно-волновая активность δ - и θ -диапазона), характеризующие глубокую анестезию, соответствовали уровню глубокого наркоза по шкале БИС (30-47).

СПИСОК ЛИТЕРАТУРЫ:

- M?rat S., L?vecque J. P., Le Gulluce Y. et al. BIS monitoring may allow the detection of severe cerebral ischemia. Can. J. Anesth. 2001; 48 (11): 1066-1069.
- Billard V. Brain injury under general anesthesia: is monitoring of the EEG helpful? Can. J. Anesth. 2001; 48 (11): 1055-1060.
- Kelley S. D. Monitoring consciousness. Using the Bispectral IndexTM during anesthesia. 2nd ed. 2007.
- Taivainen T., Klockars J., Hiller A. et al. The performance of Bispectral Index in children during equi-MAC halothane vs. sevoflurane anaesthesia. Eur. J. Anesthesiol. 2008; 25 (11): 933-939.
- Tirel O., Wodey E., Harris R. et al. The impact of age on bispectral index values and EEG bispectrum during anaesthesia with desflurane and halothane in children. Br. J. Anaesth. 2006; 96 (4): 480-485.
- Klockars J. G., Hiller A., Ranta S. et al. Spectral entropy as a measure of hypnosis in children. Anesthesiology 2006; 104 (4): 708-717.
- Wodey E., Tirel O., Bansard J. Y. et al. The Impact of age on both BIS values and EEG bispectrum during anaesthesia with sevoflurane. Br. J. Anaesth. 2005; 94 (6): 810-820.
- Degoute C. S., Macabeo C., Dubreui C. et al. EEG bispectral index and hypnotic component of anaesthesia induced by sevoflurane: comparison between children and adults. Br. J. Anaesth. 2001; 86 (2): 209-212.
- Davidson A. J., Huang G. H., Rebmann C. S., Ellery C. Performance of entropy and bispectral index as measures of anaesthesia effect in children of different ages. Br. J. Anaesth. 2005; 95 (5): 674-679.
- Лазарев В. В., Цыпин Л. Е., Линькова Т. В., Кочкин В. С. BIS-мониторинг при индукции анестезии севофлураном у детей. Общая реаниматология 2009; V (5): 37-40.[Lazarev V.V., Ci pin L.E., Linkova T.V., Kochkin V.C. BIS-monitoring pri indukciyi anestesi sevofluranom u detei. Obshay peanimatologiy.2009.V (5): 37-40. (In Russ)]
- McCann M. E., Bacsik J., Davidson A. et al. The correlation of bispectral index with endtidal sevoflurane concentration and haemodynamic parameters in preschoolers. Paediatr. Anaesth. 2002; 12 (6): 519-525.
- Благосклонова Н. К., Новикова Л. А. Детская клиническая электроэнцефалография. М.: Медицина; 1994. [Blagosklonova N.K., Novkova L.A., Detskay klinicheskay eletroencefalografii. M.: Medicina: 1994. (In Russ)]
- Rampil I. J. A primer for EEG signals processing in anesthesia. Anesthesiology 1998; 89 (4): 980-1002.
- Петри А., Себин К. Наглядная медицинская статистика. 2-е изд., перераб. и доп. М.: ГЕОТАР-Медиа; 2010. [Petri A., Sebin K. Nagladnay medicinskay statistika. 2-e izd., pterab. i dopol. M.:GEOTAR-Media; 2010. (In Russ)]
- Brosius K. K., Bannister C. F. Effect of oral midazolam premedication on the awakening concentration of sevoflurane, recovery times and bispectral index in children. Paediatr. Anaesth. 2001; 11 (5): 585-590.
- Davidson A. J., McCann M. E., Devaram P. et al. The differences in the bispectral index between infants and children during emergence from anesthesia after circumcision surgery. Anesth. Analg. 2001; 93 (2): 326-330.
- Denman W. T., Swanson E. L., Rosow D. et al. Pediatric evaluation of the bispectral index (BIS) monitor and correlation of BIS with end-tidal sevoflurane concentration in infants and children. Anesth. Analg. 2000; 90 (4): 872-877.
- Olofsson E., Dahan A. The dynamic relationship between endtidal sevoflurane and isoflurane concentrations and bispectral index and spectral edge frequency of the electroencephalogram. Anesthesiology 1999; 90 (5): 1345-1353.

Поступила 09.09. 2019